

ROCHES INTRUSIVES

Legend for intrusive rocks and volcanic-sedimentary assemblages. Includes categories like Diabase, Périodite, Pyroxénite, Gabbro, and various basalt types (e.g., basalt à pyroxène plagioclase, basalt à olivine).

ROCHES INTRUSIVES

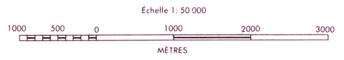
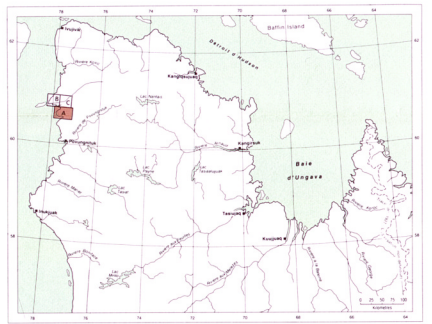
Legend for intrusive rocks including Gabbro, Granite, Granodiorite-tonalite, and Granodiorite-tonalite with mafic inclusions.

ROCHES INTRUSIVES

Legend for intrusive rocks including Gabbro, Granite, Granodiorite-tonalite, and Granodiorite-tonalite with mafic inclusions.

Geological symbols legend. Includes symbols for faults (normal, thrust, strike-slip), folds (anticline, syncline), unconformities, and other structural features. Also includes a section for 'DÉCLINAISON MAGNÉTIQUE' (Magnetic declination).

DÉCLINAISON MAGNÉTIQUE
La déclinaison magnétique mesurée au centre de la feuille est de 34°00'. Courbe en 1922. Elle décroît de 8,0° annuellement.

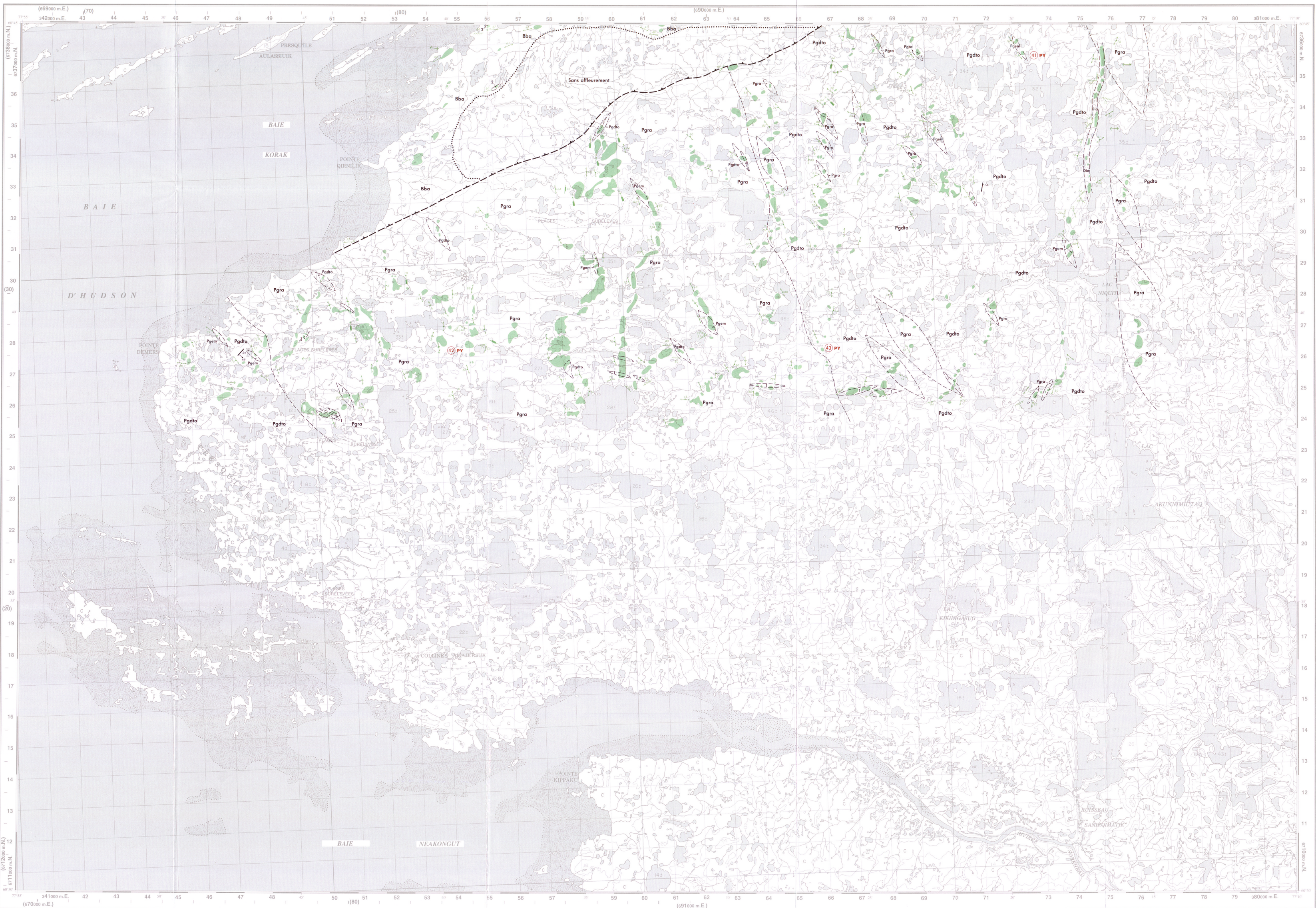


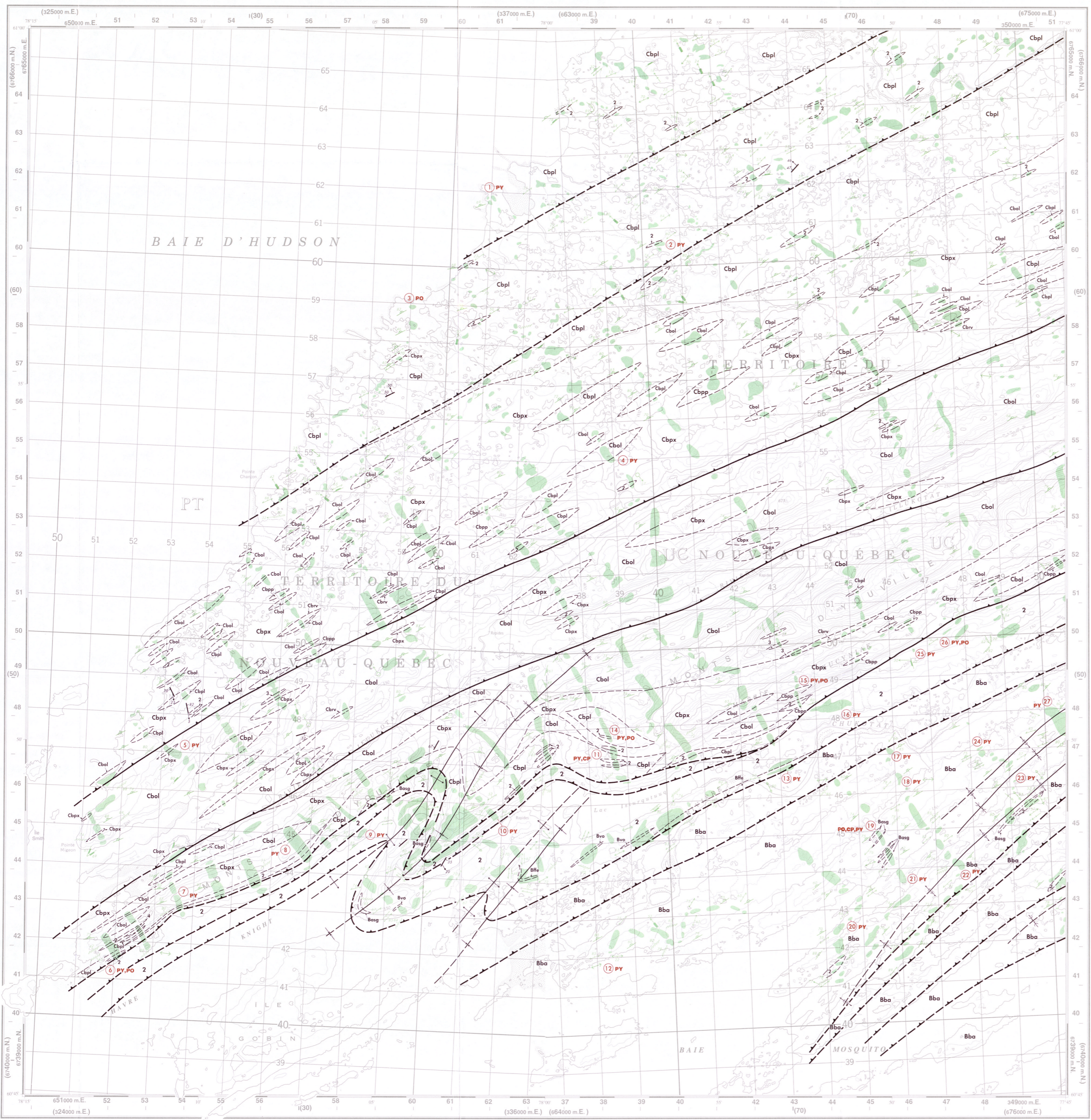
GÉOLOGIE DE LA RÉGION DE
LA BAIE KORAK
(FOSSE DE L'UNGAVA)

FEUILLES 35 C/12 ET 35 C/11

Géologie par N'Golo TOGOLA, 1988

Carte n° 2143A du rapport ET 91-07





ROCHES INTRUSIVES

Dia	Diabase
4	Périodite
3	Pyroxénite
2	Gabbro

ASSEMBLAGE VOLCANOSÉDIMENTAIRE

GROUPE DE CHUKOTAT

Cbrv	Brèche volcanique
Chpp	Basalte à pyroxène-plagioclase
Cbpl	Basalte à plagioclase
Cbpx	Basalte à pyroxène
Cbol	Basalte à olivine

GROUPE DE POVUNGITUK

Sous-groupe de Beauportant

Bfa	Formation de fer à faciès silicaté et carbonaté (ardoise ferrugineuse interstratifiée avec du tuf lamainé et des lentilles de chert gris-noir)
Bvo	Brèche volcanique, tuf aphantite lamainé à lapillis
Bsg	Ardoise, siltstone lité et grès
Bba	Basalte tholéitique (à plagioclase) massif ou coussiné

Sous-groupe de Lamarche

Lg	Grès comprenant des intertits de phyllade
Lfe	Formation de fer à faciès silicaté et carbonaté interstratifiée de lits de chert gris ou noir, un peu de conglomérat ou de grès conglomératique

ROCHES INTRUSIVES

1	Gabbro
---	--------

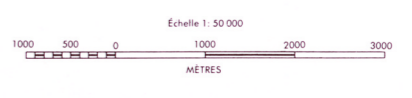
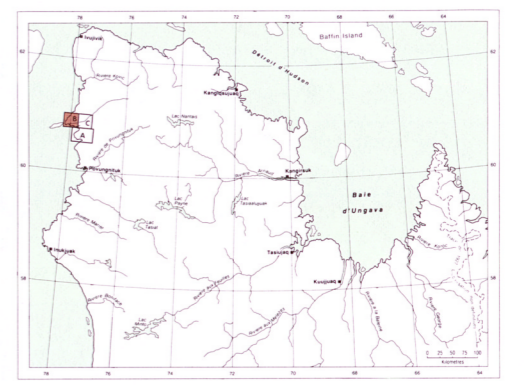
FORMATION DE PERRON

Pgr	Granite
Pgdo	Granodiorite - tonalite
Pgem	Granodiorite - tonalite et granite riches en enclaves mafiques

ROCHES INTRUSIVES

a, b	affleurement : a) dimension restreinte; b) aire d'affleurements
—	Contact géologique incertain
a, b, c, d	Stratification avec sommet déterminé : a) inclinée; b) renversée; c) verticale; d) pendage non mesuré
a, b	Stratification avec sommet non déterminé : a) inclinée; b) verticale
a, b, c	Surface S ₁ : a) inclinée; b) verticale; c) pendage non mesuré
a, b, c	Surface S ₂ inclinée
a, b, c	Surface S ₃ inclinée
a, b, c	Foliation : a) inclinée; b) verticale; c) pendage non mesuré
a, b, c	Gréssosité : a) inclinée; b) verticale
a, b, c	Joins (ou diachasses) : a) inclinés; b) système multiple; c) verticaux
a, b, c, d	Veine : a) inclinée; b) inclinée à système multiple; c) verticale; d) verticale à système multiple
a, b, c, d	Liniéation d'intersection : a) L ₁ ; b) L ₂ ; c) L ₃ ; d) L ₄
a, b, c, d	Liniéation d'allongement de minéraux
—	Joins columnaires
—	Stries de faille mesurées sur la surface S ₁
—	Surface axiale inclinée
a, b	Surface axiale inclinée et charnière de pli : a) P ₂ ; b) P ₃
—	Surface axiale verticale et charnière de pli (P ₃)
a, b	Trace de la surface axiale d'un pli P ₁ droit (position certaine) : a) synforme synclinal; b) antiforme anticlinal
a, b	Trace de la surface axiale d'un pli P ₁ déversé (position certaine) : antiforme anticlinal
a, b, c	Trace de la surface axiale d'un pli P ₂ droit (position probable) : a) synforme synclinal; b) synforme anticlinal; c) antiforme anticlinal
a, b, c	Trace de la surface axiale d'un pli P ₂ déversé (position probable) : antiforme anticlinal
a, b, c	Trace d'une faille de chevauchement : a) position probable; b) position incertaine
a, b	Faille observée : a) inclinée; b) inclinée avec direction et sens du plongement des stries de glissement
a, b, c, d	Zone de cisaillement : a) inclinée; b) inclinée avec direction et sens du plongement des stries de glissement; c) verticale; d) pendage non mesuré
—	Stries glaciaires de sens inconnu
2	Indice minéralisé
CP	Chalcopyrrite
PY	Pyrite
PO	Pyrrhotite
—	Courbes de niveau et cotes en pieds au-dessus du niveau de la mer

DÉCLINAISON MAGNÉTIQUE
 La déclinaison magnétique moyenne au centre de la feuille est de 31°47' Ouest en 1982. Elle décroît de 8,7 annuellement.

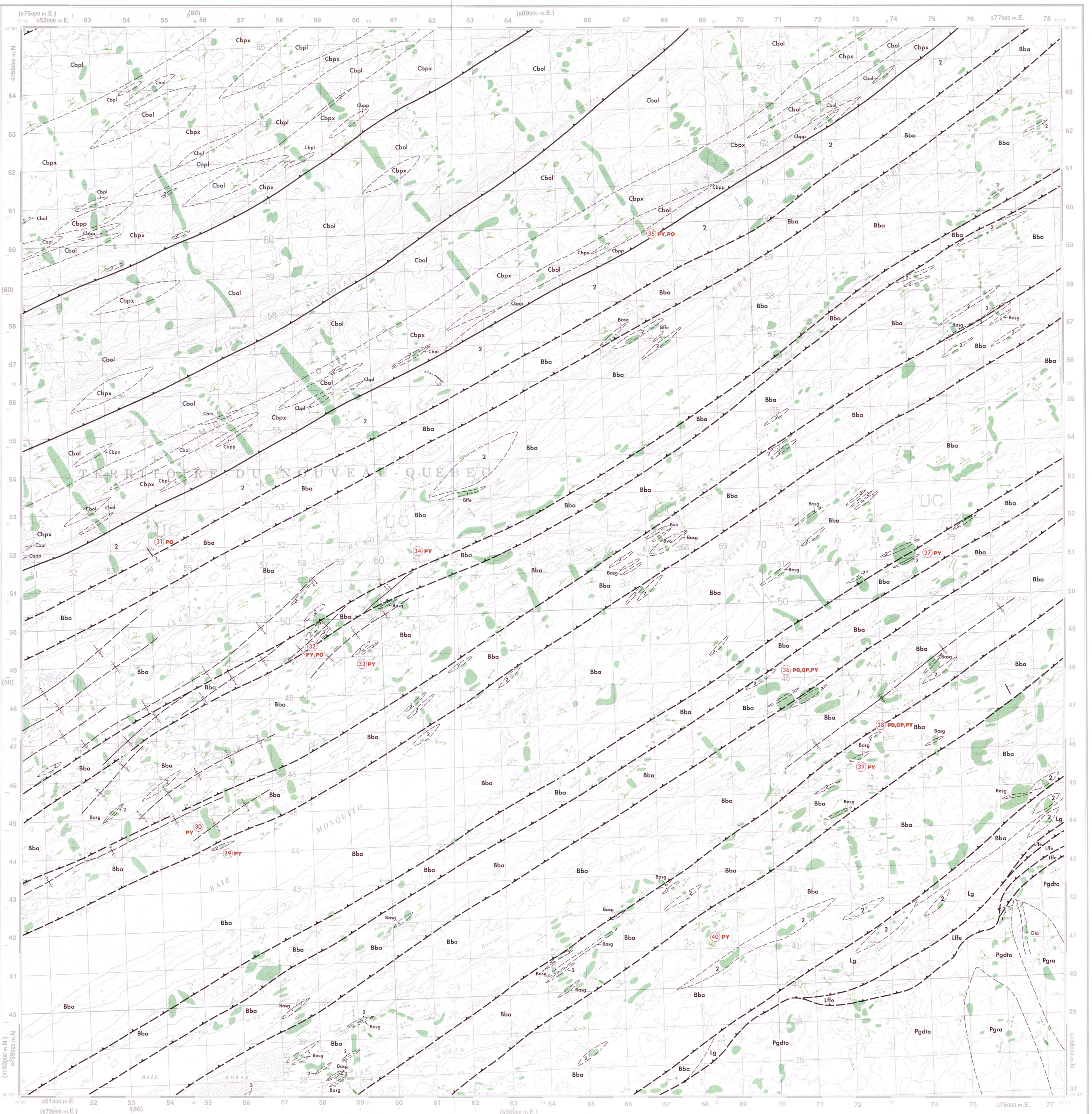


GÉOLOGIE DE LA RÉGION DE LA BAIE KORAK (FOSSE DE L'UNGAVA)

FEUILLES 35 D/16E ET 35 C/13W

Géologie par : N'Golo TOGOLA, 1988

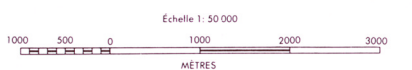
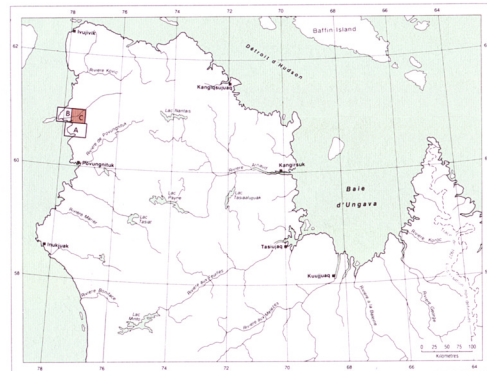
Carte n° 2143B du rapport ET 91-07



- ROCHES INTRUSIVES**
- Dia** Diabase
 - 4** Péridotite
 - 3** Pyroxénite
 - 2** Gabbro
- ASSEMBLAGE VOLCANOSÉDIMENTAIRE**
- GROUPE DE CHUKOTAT**
- Cbvx** Brèche volcanique
 - Cbpx** Basalte à pyroxène-plagioclase
 - Cbpl** Basalte à plagioclase
 - Cbpx** Basalte à pyroxène
 - Cbol** Basalte à olivine
- GROUPE DE POUVUNITUK**
- Sous-groupe de Beauportant
- Bffe** Formation de fer à facies silicatée et carbonatée (ardoise ferrugineuse interstratifiée avec du tuf laminé et des lentilles de chert gris-noir)
 - Bvo** Brèche volcanique, tuf aphantique laminé à lapillis
 - Basg** Ardoise, siltstone lié et grès
 - Bba** Basalte tholéitique (à plagioclase) massif ou coussiné
- Sous-groupe de Lamarche
- Lg** Grès comprenant des intertites de phyllade
 - Lffe** Formation de fer à facies silicatée et carbonatée interstratifiée de lits de chert gris ou noir; un peu de conglomérat ou de grès conglomératique
- ROCHES INTRUSIVES**
- 1** Gabbro
- FORMATION DE PERRON**
- Pgda** Granodiorite - tonalite
 - Pgem** Granodiorite - tonalite ou granite riches en enclaves mafiques

- Affleurement :** a) dimension restreinte; b) aire d'affleurements
- Contact géologique incertain**
- Stratification avec sommet déterminé :** a) inclinée; b) renversée; c) verticale; d) pendage non mesuré
- Stratification avec sommet non déterminé :** a) inclinée; b) verticale
- Surface S₁ :** a) inclinée; b) verticale; c) pendage non mesuré
- Surface S₂ inclinée**
- Surface S₂ inclinée**
- Foliation :** a) inclinée; b) verticale; c) pendage non mesuré
- Gneissosité :** a) inclinée; b) verticale
- Joints (ou diaclases) :** a) inclinés; b) système multiple; c) verticaux
- Veine :** a) inclinée; b) inclinée à système multiple; c) verticale; d) verticale à système multiple
- Liniation d'intersection :** a) L₁; b) L₂; c) L₁; d) L₂
- Liniation d'allongement de minéraux**
- Joints colonnaires**
- Stries de faille mesurées sur la surface S₁**
- Surface axiale inclinée**
- Surface axiale inclinée et charnière de pli :** a) P₁; b) P₂
- Surface axiale verticale et charnière de pli (P₁)**
- Trace de la surface axiale d'un pli P₁ droit (position certaine) :** a) synforme synclinal; b) antiforme anticlinal
- Trace de la surface axiale d'un pli P₁ déversé (position certaine) :** a) antiforme anticlinal
- Trace de la surface axiale d'un pli P₂ droit (position certaine) :** a) synforme; b) synforme synclinal; c) synforme anticlinal; d) antiforme
- Trace de la surface axiale d'un pli P₂ droit (position probable) :** a) synforme synclinal; b) synforme anticlinal; c) antiforme anticlinal
- Trace de la surface axiale d'un pli P₁ déversé (position probable) :** a) antiforme anticlinal
- Trace de la surface axiale d'un pli P₂ droit (position probable) :** a) synforme; b) synforme synclinal; c) antiforme
- Trace d'une faille de chevauchement :** a) position probable; b) position incertaine
- Faille observée :** a) inclinée; b) inclinée avec direction et sens du plongement des stries de glissement
- Zone de cisaillement :** a) inclinée; b) inclinée avec direction et sens du plongement des stries de glissement; c) verticale; d) pendage non mesuré
- Stries glaciaires de sens inconnu**
- 2** Indice minéralisé
- CP** Chalcopryrite
- PY** Pyrite
- PO** Pyrrhotite
- Courbes de niveau et cotes en pieds au-dessus du niveau de la mer

DÉCLINAISON MAGNÉTIQUE
La déclinaison magnétique moyenne au centre de la feuille est de 27°26' Ouest en 1979. Elle décroît de 12,7' annuellement.



**GÉOLOGIE DE LA RÉGION DE
LA BAIE KORAK
(FOSSE DE L'UNGA)**

FEUILLES 35 C/13E ET 35 C/14W

Géologie par : N'Golo TOGOLA, 1988

Carte n° 2143C du rapport ET 91-07